

مکان‌یابی خطای اتصال کوتاه در خطوط انتقال جریان مستقیم ولتاژ بالا با استفاده از شبکه عصبی رگرسیون تعیین‌یافته و الگوریتم جنگل تصادفی

محمد فرشاد^۱ و جواد ساده^۲

۱- دانشجوی دکتری، گروه برق- دانشکده مهندسی- دانشگاه فردوسی مشهد- مشهد- ایران

mohammad.farshad@stu-mail.um.ac.ir

۲- دانشیار، گروه برق- دانشکده مهندسی- دانشگاه فردوسی مشهد- مشهد- ایران

sadeh@um.ac.ir

چکیده: این مقاله روشنی مبتنی بر استراتژی‌های یادگیری ماشین برای حل مسئله مکان‌یابی خطای اتصال کوتاه در خطوط انتقال جریان مستقیم ولتاژ بالا (HVDC) ارائه می‌دهد. در روش مکان‌یابی پیشنهادی، تنها از سیگنال ولتاژ پس از خطای اندازه‌گیری شده از یک پایانه برای استخراج ویژگی‌های مورد نیاز بهره‌گیری می‌شود. در این مقاله، متناسب با بعد بالای بردار ویژگی‌های ورودی، امکان استفاده از دو تخمین‌گر مقاومت شامل شبکه عصبی رگرسیون تعیین‌یافته (GRNN) و الگوریتم جنگل تصادفی (RF) برای یافتن رابطه موجود بین ویژگی‌های الگوها و مکان وقوع خطای ارزیابی با استفاده از الگوهای یادگیری و آزمون به دست آمده از شیوه‌سازی انواع خطای انتقال هوانی بلند و بر اساس مقادیر مختلف محل وقوع خطای مقاومت خطای و جریان پیش از خطای نشان دهنده کارآیی و دقت قابل قبول روش پیشنهادی است.

واژه‌های کلیدی: مکان‌یابی خطای انتقال HVDC، شبکه عصبی رگرسیون تعیین‌یافته، الگوریتم جنگل تصادفی

تدابع انتقال نیروی برق دارای اهمیت فراوانی است.

در سال ۱۹۸۵، روشنی مبتنی بر تئوری امواج سیار و با استفاده از اندازه‌گیری‌های یک پایانه برای مکان‌یابی خطای انتقال HVDC ارائه شد [۱]. در این روش، از ارتباط بین محل وقوع خطای بازه زمانی ماینین دو بازتاب متواتی امواج سیار تولید شده ناشی از خطای برای تعیین فاصله خطای بهره‌گیری شده است [۱]. در سال ۱۹۹۳ بهره‌گیری از اندازه‌گیری‌های دو پایانه و استفاده از سیستم موقعیت‌یابی جهانی (GPS)^۰ برای بهبود روش مکان‌یابی خطای مبتنی بر امواج سیار پیشنهاد شد [۲]. در روش مذبور، از طریق تعیین زمان بسیار دقیق رسیدن امواج سیار ناشی از خطای به دو پایانه خط انتقال بر اساس مرجع زمانی GPS، محل وقوع خطای در طول خط انتقال HVDC تعیین شده است [۲]. در سال‌های اخیر نیز مطالعاتی در راستای بهبود روش‌های مکان‌یابی خطای مبتنی بر امواج سیار در

۱- مقدمه

امروزه با توجه به پیشرفت فناوری حاصل شده در الکترونیک قدرت و سیستم‌های کنترلی وابسته، سیستم‌های جریان مستقیم ولتاژ بالا (HVDC)^۱ در حال گسترش هستند. ممکن است بنا به ملاحظات اقتصادی و فنی، از سیستم‌های HVDC برای انتقال توان‌های بالا در مسافت‌های طولانی بهره‌گیری شود. مکان‌یابی دقیق خطاهای ماندگار و گذرا در خطوط انتقال HVDC، از دیدگاه تسريع و بهبود عملیات تعمیر و نگهداری و حفظ

تاریخ ارسال مقاله: ۱۳۹۱/۱۲/۱۴

تاریخ پذیرش مقاله: ۱۳۹۲/۰۴/۲۴

نام نویسنده مسؤول: جواد ساده
نشانی نویسنده مسؤول: ایران- مشهد- میدان آزادی- دانشگاه فردوسی مشهد- دانشکده مهندسی- گروه برق

مکان‌یابی خطای اتصال کوتاه در خطوط انتقال جریان مستقیم و لتأثر بالا

در کاهش تجهیزات اندازه‌گیری موردنیاز، افزایش قابلیت اطمینان دسترسی به اطلاعات و پیشگیری از ترکیب خطاهای اندازه‌گیری مفید باشد.

در این مقاله، روشی مبتنی بر استراتژی‌های یادگیری HVDC ماشین برای مکان‌یابی خطای انتقال در خطوط انتقال HVDC پیشنهاد می‌شود. در روش پیشنهادی، تنها از سیگنال و لتأثر پس از خطای اندازه‌گیری شده از یک طرف خط برای استخراج ویژگی‌های ورودی استفاده می‌شود. در واقع، ویژگی‌های الگوهای مورد استفاده برای مکان‌یابی خطای انتقال یک پنجره داده از این سیگنال و لتأثر با میانگین صفر هستند. در روش پیشنهادی، با توجه به امکان بالا بودن بعد بردار ویژگی‌های ورودی، باید از ابزار یادگیری مناسبی استفاده کرد. با عنایت به این موضوع، امکان استفاده از شبکه عصبی رگرسیون تعمیم‌یافته (GRNN)^۳ و الگوریتم جنگل تصادفی (RF)^۴ برای تخمین محل وقوع خطای انتقال شده است.

در ادامه، به ترتیب در بخش‌های دوم و سوم مقاله، خلاصه‌ای از مبانی GRNN و RF ارائه می‌شود. الگوریتم مکان‌یابی خطای پیشنهادی نیز در بخش چهارم مقاله ارائه می‌گردد. در بخش پنجم مقاله، نتایج حاصل از مطالعات عددی ارائه می‌شوند. در این بخش، الگوهای یادگیری و آزمون متعددی از طریق شبیه‌سازی انواع خطاهای در یک خط انتقال HVDC ۱۰۰۰ کیلومتری دو قطبی^۵ نمونه و بر اساس مقادیر مختلف محل وقوع خطای انتقال جریان پیش از خطای تولید می‌شوند. سپس روش پیشنهادی در مورد الگوهای یادگیری و تست اعمال شده و نتایج حاصل از مکان‌یابی خطای ارائه می‌گردد. شایان ذکر است، شبیه‌سازی‌ها از طریق نرم‌افزار PSCAD/EMTDC [۶] شبیه‌سازی‌ها از طریق نرم‌افزار CIGRE^۶ [۱۰] تیکین می‌گردد. بخش ششم مقاله نیز به جمع‌بندی و نتیجه‌گیری اختصاص یافته است.

۲- شبکه عصبی رگرسیون تعمیم‌یافته

شبکه عصبی رگرسیون تعمیم‌یافته (GRNN) شکل^۷ (RBFNN) تغییر یافته‌ای از شبکه عصبی تابع پایه شعاعی

خطوط انتقال HVDC انجام شده است. برخی از این روش‌ها از اطلاعات یک پایانه [۳-۵] و برخی دیگر از اطلاعات هر دو پایانه [۵-۷] بهره می‌گیرند. برخی مقالات بهبود روش‌های مکان‌یابی خطای مبتنی بر امواج سیار را با در نظر گرفتن حالت‌های مختلفی، همچون ترکیب خطوط کابلی و هوایی [۶] و یا سیستم‌های چند پایانه‌ای با اتصال ستاره [۷] مدنظر قرار داده‌اند.

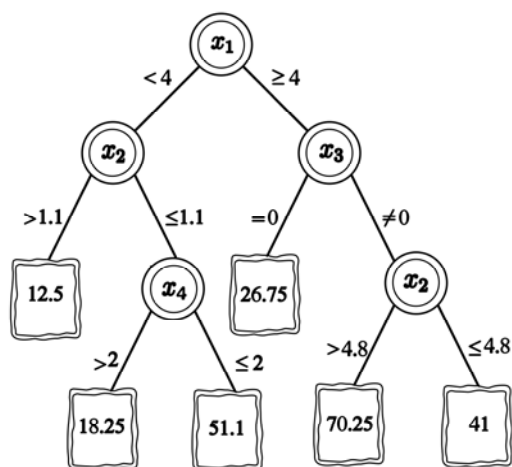
با اینکه روش‌های مکان‌یابی خطای مبتنی بر امواج سیار دقت بالایی دارند، ولی این روش‌ها با مشکلات ذاتی، همچون احتمال عدم پیشانی موج و یا عدم توانایی در ثبت آن در برخی شرایط، نیاز به مهارت و تجربه در شناسایی پیشانی موج و نیاز به فرکانس نمونه برداری سیار بالا مواجه هستند [۸]. در راستای فائق آمدن بر این مشکلات، در [۸]، روشی متفاوت با روش‌های مبتنی بر امواج سیار پیشنهاد شده است که طبق آن، پروفایل و لتأثر در طول خط انتقال HVDC با استفاده از جریان و لتأثر دو پایانه به دست آمده و بر اساس آن مکان خطای تعیین می‌شود.

در کنار روش‌های موجود، روش‌های مبتنی بر الگوریتم‌های یادگیری نیز می‌توانند به عنوان گزینه جایگزین برای مکان‌یابی خطای انتقال HVDC استفاده شوند. استراتژی‌های مبتنی بر یادگیری در صورت اجرای مناسب می‌توانند در شرایط مختلف و با وجود قطعیت‌ها در سیستم، انعطاف و عملکرد قابل قبولی از خود نشان دهند. استخراج ویژگی‌های کارآمد و به کارگیری الگوریتم یادگیری مناسب، دو مسئله اصلی و تاثیرگذار در پایه‌ریزی روش‌های مبتنی بر یادگیری محسوب می‌شوند.

در مرحله استخراج ویژگی می‌توان از اطلاعات اندازه‌گیری شده در یک پایانه و یا هر دو پایانه خط انتقال بهره برد. قابلیت اطمینان بالاتر در دسترسی به اطلاعات اندازه‌گیری شده، عدم نیاز به ارسال و سنکرون‌سازی اطلاعات اندازه‌گیری شده، پیچیدگی کمتر و هزینه‌های پایین‌تر از جذابیت‌های روش‌های مکان‌یابی مبتنی بر اطلاعات یک پایانه محسوب می‌شوند. سیگنال‌های جریان و لتأثر به عنوان اطلاعات معمول در دسترس در پایانه خطوط انتقال قابل بهره‌گیری هستند. پایه ریزی روش مکان‌یابی خطای بر اساس استفاده تنها از یک نوع سیگنال نیز می‌تواند

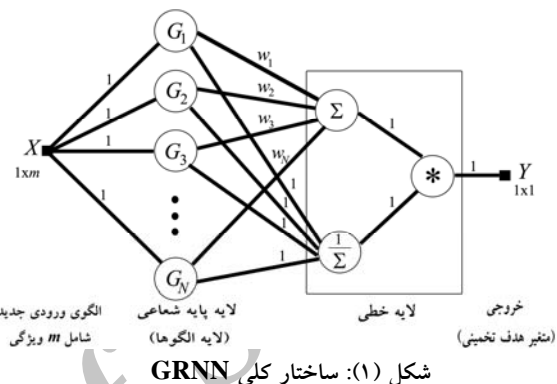
اقلیدسی الگوی ورودی X از الگوی موجود x_i برابر σ باشد، مقدار تابع G_i برابر 0.5 خواهد شد.

همان‌طور که مشخص است، تنها پارامتر تنظیمی $GRNN$ ، میزان پراکندگی تابع پایه شعاعی، σ ، است.



شکل (۲): یک نمونه از درخت تصمیم رگرسیونی

است که برای تخمین توابع مناسب است. GRNN شامل دو لایه است: لایه اول آن که لایه پایه شعاعی^۸ نامیده می‌شود، مشابه لایه اول RBFNN است؛ ولی لایه دوم آن که یک نوع لایه خطی است، کمی با لایه دوم RBFNN متفاوت است [۱۱].



شکل (۱)، ساختار کلی GRNN را که در آن مقدار متغیر هدف Y بر اساس الگوی ورودی X (شامل m ویژگی) تخمین زده می‌شود، نمایش می‌دهد. در این شکل، $*$ نشان‌دهنده عملگر ضرب، Σ نشان‌دهنده عملگر جمع و $\frac{1}{\Sigma}$ نشان‌دهنده عملگر محاسبه کننده معکوس مجموع است. تعداد نرون‌های لایه پایه شعاعی برابر تعداد الگوهای یادگیری موجود N است. مقدار وزنی w_i برابر مقدار متغیر هدف متناظر با الگوی یادگیری i ، y_i ، در نظر گرفته می‌شود. همچنین، G_i نشان‌دهنده تابع پایه شعاعی (تابع گوسی) مربوط به نرون i در لایه پایه شعاعی است و بر حسب رابطه ذیل تعریف می‌گردد [۱۱، ۱۲]:

$$G_i = \exp\left(-\frac{\gamma \|X - X_i\|^2}{\sigma^2}\right) \quad (1)$$

در رابطه فوق، $\|\cdot\|$ عملگر محاسبه کننده نرم اقلیدسی، σ میزان پراکندگی تابع پایه شعاعی و X_i بردار الگوی یادگیری i است. همچنین، γ عدد ثابتی است که در برخی از مراجع برابر 0.5 [۱۲] و در برخی دیگر برابر $-\ln(0.5)$ [۱۱] در نظر گرفته شده است. در این مقاله، γ برابر $-\ln(0.5)$ در نظر گرفته می‌شود. بر این اساس، اگر فاصله

۳- الگوریتم جنگل تصادفی

یکی از ابزارهای کارآمد مورد استفاده در مسائل مربوط به تخمین متغیرهای هدف و یا طبقه‌بندی الگوهای درخت تصمیم^۹ است. در ساخت هر درخت تصمیم، یک استراتژی پاریشن‌بندی بازگشتی بالا به پایین استفاده می‌شود [۱۳]. یک درخت تصمیم، فضای ورودی را به مجموعه‌ای از نواحی مجزا تقسیم می‌کند و یک مقدار پاسخ را به هر ناحیه اختصاص می‌دهد. در حالت ساده، این پاسخ در مسائل رگرسیونی می‌تواند بر اساس میانگین مقادیر هدف مرتبط با الگوهای قرار گرفته در هر ناحیه تعیین شود. فرض کنید که تخمین متغیر هدف Y بر اساس بردار الگوی X شامل m ویژگی x_1, x_2, \dots, x_m مدنظر باشد؛ یک درخت تصمیم رگرسیونی، فضای بردار X را به نواحی مجزا، مشابه نمونه نشان داده شده در شکل (۲)، افزایش می‌کند. در مثال نشان داده شده در شکل (۲)، پاسخ اختصاص یافته به هر ناحیه بر اساس میانگین مقادیر هدف متناظر با الگوهای یادگیری قرار گرفته در هر ناحیه تعیین شده است. شایان ذکر است، در مرحله از رشد درخت با استفاده از الگوهای یادگیری،

مکانیابی خطای اتصال کوتاه در خطوط انتقال جریان مستقیم ولتاژ بالا

مربوطه استفاده نشده، برای آزمون تعیین‌پذیری آن درخت و در نهایت برای تعیین پارامترهای تنظیمی RF، یعنی PercVar و MinLeaf بهره گرفت.

۴- روش پیشنهادی مکانیابی خطای اتصال کوتاه

در اینجا، روش پیشنهادی برای مکانیابی خطای اتصال کوتاه در خطوط انتقال HVDC ارائه می‌شود. در روش پیشنهادی، تنها سیگنال ولتاژ پس از خطای اندازه‌گیری شده در یک پایانه موردنیاز است. سیگنال ولتاژ موردنیاز برای مکانیابی خطای اتصال کوتاه در جلوی راکتور صاف‌کننده^{۱۴}، در سمت خط DC (اندازه‌گیری می‌شود). در شکل (۳)، الگوریتم کلی روش پیشنهادی برای مکانیابی خطای انتقال نمایش داده شده است. در روش پیشنهادی، پس از آشکارسازی و طبقه‌بندی خطای انتقال HVDC در سیستم که در حوزه بحث این مقاله قرار ندارند، سیگنال ولتاژ قطب خط‌دادار که در حافظه بافر ثبت شده است، برای استخراج نمونه‌های لازم استفاده می‌شود. شایان ذکر است در سیستم‌های دو قطبی، در مورد خط‌داداری که شامل هر دو قطب خط انتقال می‌باشدند، یکی از قطب‌های خط‌دادار، مثلاً قطب مثبت، تعیین شده و سیگنال ولتاژ آن برای مکانیابی استفاده می‌شود. در روش مکانیابی پیشنهادی، نمونه‌های پنجره زمانی به طول 10 میلی ثانیه از سیگنال ولتاژ از لحظه افت مقدار قدر مطلق نمونه ولتاژ به کمتر از مقدار آستانه‌ای V_{thv} استخراج می‌شوند. سپس میانگین این نمونه‌ها بر اساس رابطه ذیل کسر می‌شود:

$$v'_i = v_i - \frac{1}{m} \sum_{j=1}^m v_j, \quad i = 1, 2, \dots, m \quad (2)$$

در رابطه فوق، v_i نمونه ولتاژ آم قبل از کسر میانگین، v'_i نمونه ولتاژ آم پس از کسر میانگین و m تعداد کل نمونه‌ها در پنجره زمانی موردنظر است. در واقع v'_i ها ویژگی‌های الگوی مورد استفاده برای مکانیابی خطای اتصال کوتاه بود. بدین ترتیب، الگوی مزبور شامل m ویژگی خواهد بود که مقدار m با توجه به طول ثابت پنجره زمانی، وابسته به فرکانس نمونه‌برداری سیگنال است.

یک جستجوی جامع در بین ویژگی‌ها و نقاط انشعاب مربوطه و در راستای دستیابی به ماکریم کاهش در ناخالصی^{۱۵} گره انجام می‌شود.

به طور کلی، درخت تصمیم تکی مستعد بیش-برازش^{۱۶} بوده، قدرت تعیین‌پذیری کمی دارد. از معایب دیگر درخت تصمیم تکی می‌توان به ناپایداری نتایج حاصل از آن نسبت به وجود نویز در داده‌های ورودی اشاره نمود. در هنگام تشکیل یک درخت تصمیم، تغییر کوچکی در الگوهای یادگیری می‌تواند باعث تغییرات اساسی در ساختار آن درخت گردد. برای فائق آمدن بر این مشکلات، الگوریتم جنگل تصادفی (RF) که یک روش یادگیری مبتنی بر دسته‌ای از درخت‌های تصمیم^{۱۷} است، پیشنهاد شده است [۱۴، ۱۵]. مدل پیش‌بینی کننده RF، بر اساس میانگین گیری از نتایج حاصل از تمامی درخت‌های تصمیم مربوطه استوار است.

در الگوریتم RF، برای تشکیل هر درخت، دسته متفاوتی از الگوهای موجود، با در نظر گرفتن جایگزینی دوباره هر الگوی انتخاب شده، انتخاب می‌شوند. اندازه این دسته نمونه‌برداری شده برابر تعداد کل الگوهای موجود خواهد بود. این طریقه نمونه‌برداری معمولاً در حدود یک سوم از الگوهای موجود را بیرون از دسته قرار می‌دهد که آنها را الگوهای خارج از کیسه (OOB)^{۱۸} می‌نامند. هر درخت بر اساس دسته الگوی انتخاب شده، تا ماکریم عمق از پیش تعیین شده رشد داده می‌شود. این عمق بر اساس حداقل تعداد الگوها در هر گره انتهایی، MinLeaf تعیین می‌شود.

بر اساس الگوریتم RF، در مرحله رشد هر درخت، در هر گره، دسته‌ای از ویژگی‌ها به صورت تصادفی انتخاب می‌شوند و بهترین انشعاب در میان دسته ویژگی انتخاب شده برای تشکیل گره‌های جدید بعدی در نظر گرفته می‌شود. در این مقاله، درصدی از ویژگی‌ها که به صورت تصادفی و برای تعیین انشعاب هر درخت تصمیم انتخاب می‌شوند، با PercVar نمایش داده می‌شود. می‌توان از الگوهای OOB که در مرحله تشکیل درخت

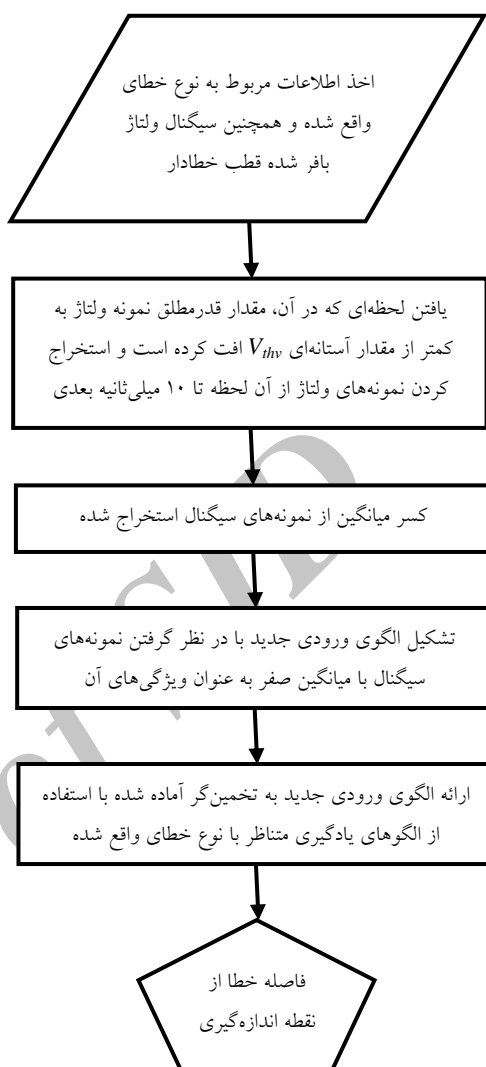
خیلی زیاد نیستند [۱۶]. لذا در این مقاله، تخمین‌گرهای GRNN و RF به علت قابلیت بالای آنها در یادگیری الگوهای با تعداد ویژگی‌های زیاد و همچنین سهولت نسبی در تعیین پارامترهای تنظیمی مربوطه، مدنظر قرار گرفته‌اند. پس از اخذ سیگنال مورد نیاز و تولید الگوی جدید، این الگو به تخمین‌گر مورد نظر (RF یا GRNN) که قبلًا با استفاده از الگوهای یادگیری متناظر با نوع خطای واقع شده و بهترین پارامترهای تنظیمی مربوطه آماده شده است، ارائه و مکان خطا تعیین می‌گردد. شایان ذکر است، الگوهای یادگیری نیز به همان شیوه فوق الذکر تولید می‌شوند. شایان ذکر است، در روش پیشنهادی، برای هر یک از انواع خطاهای باید مکان باب خطای مجزا بر اساس الگوهای یادگیری مربوطه آماده و بر اساس نوع خطای رخ داده از آنها استفاده شود.

۵- مطالعات عددی

در اینجا برای شبیه‌سازی سیستم نمونه از نرم‌افزار PSCAD/EMTDC [۹] و برای اجرای الگوریتم پیشنهادی از محیط MATLAB استفاده می‌شود.

۵-۱- سیستم نمونه مورد مطالعه

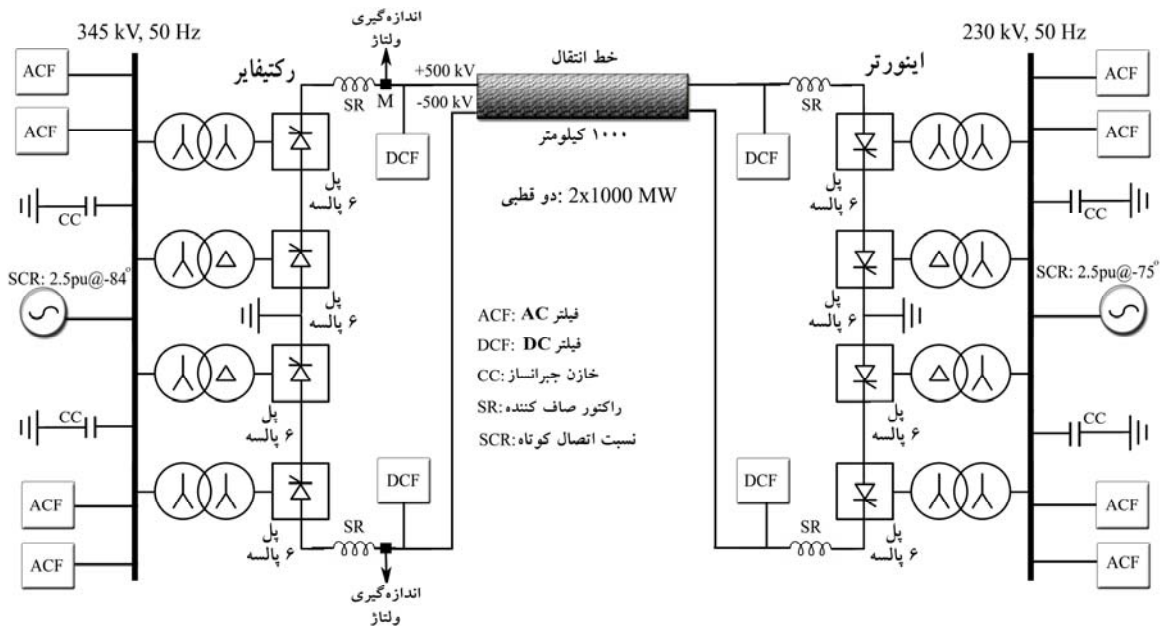
شکل (۴) دیاگرام تکخطی یک سیستم HVDC با ولتاژ نامی $\pm 500 \text{ kV}$ و با حداقل توانایی انتقال توان MW 2000 را نمایش می‌دهد. پارامترهای این سیستم دو قطبی از سیستم محک CIGRE [۱۰] اقتباس و اتخاذ شده‌اند. البته، سیستم محک CIGRE یک سیستم تک قطبی موجود در دنیا دو قطبی هستند، سیستم مزبور با کمی تغییرات به یک سیستم دو قطبی تبدیل شد. همچنین، در سیستم محک اصلی، برای مدل نمودن خط انتقال از عناصر فشرده مقاومت، سلف و خازن بهره‌گیری شده که در اینجا برای شبیه‌سازی خط انتقال هوایی ۱۰۰۰ کیلومتری سیستم مورد مطالعه، از مدل وابسته به فرکانس و آرایش شکل ۵-الف) [۱۷] استفاده شده است.



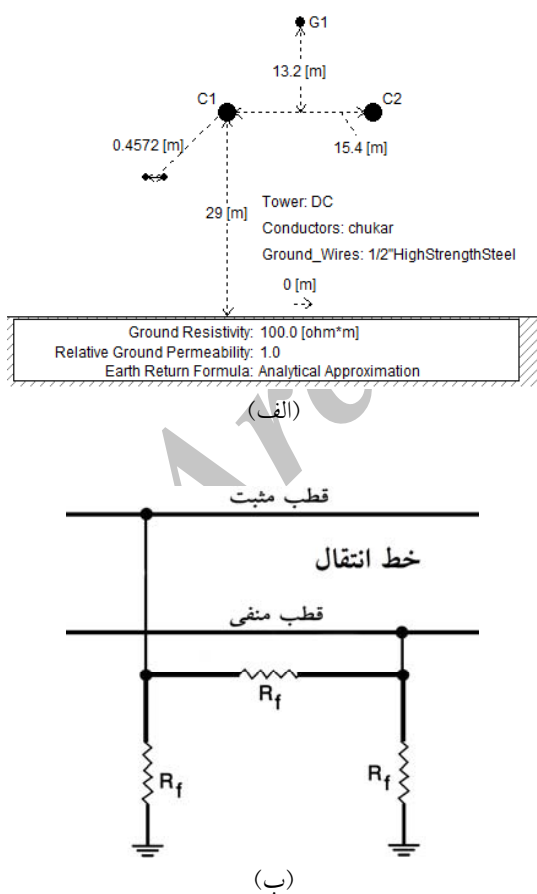
شکل (۳): الگوریتم کلی روش پیشنهادی برای مکان‌یابی خطا

یکی از نکات چالش برانگیر در روش پیشنهادی، امکان بالا بودن بُعد بردار ویژگی‌های ورودی است. برای مثال، اگر فرکانس نمونه برداری سیگنال ولتاژ برابر 80 کیلوهرتز باشد، آنگاه تعداد ۸۰۰ نمونه ولتاژ در پنج‌جره زمانی 10 میلی ثانیه وجود داشته و متعاقباً تعداد ویژگی‌های الگوها برابر ۸۰۰ خواهد بود. لذا باید از الگوریتم و ابزاری برای یادگیری استفاده کرد که مشکلی با ابعاد بالای ویژگی‌های ورودی نداشته و تنظیم پارامترهای آن نیز به سهولت انجام شدنی باشد. ابزارها و روش‌های معمول، همچون شبکه‌های عصبی پرسپترون چند لایه 15 معمولاً به علت بزرگ شدن ساختار و افزایش بیش از حد تعداد پارامترهای یادگیری، به لحاظ عملی قادر به یادگیری مناسب الگوهایی با تعداد ویژگی‌های

مکانیابی خطای اتصال کوتاه در خطوط انتقال جریان مستقیم و لتأثر بالا



شکل (۴): دیاگرام تک خطی سیستم HVDC اقتباس شده از سیستم محک CIGRE [۱۰]



شکل (۵): (الف) آرایش خط انتقال نمونه در نرم افزار PSCAD، (ب) مدار معادل برای مدلسازی انواع خطها

در سیستم HVDC نشان داده شده در شکل (۴)، مبدل‌های مورد استفاده در طرف، ۲۴ پالسه هستند که هر یک مشکل از ۴ پل ۶ پالسه هستند. همچنین، مقادیر نسبت اتصال کوتاه (SCR) ^{۱۶} بیان شده بر اساس نسبت بین قدرت اتصال کوتاه سیستم AC و توان نامی سیستم DC (2000 MW) محاسبه شده‌اند. عملکرد مبدل‌های سیستم HVDC باعث تولید هارمونیک‌هایی در سمت AC و DC سیستم می‌شود. به همین علت، فیلترهایی در هر دو سمت برای کاهش تأثیرات مخرب این هارمونیک‌ها نصب می‌گردند. نصب راکتور صاف‌کننده (SR) در سمت DC نیز علاوه بر عمل حفاظتی در راستای صاف کردن جریان DC است. برای مدلسازی انواع خطها در سیستم مورد مطالعه، مدار معادل شکل (۵-ب) به کار رفته است. در این شکل، هر R_f بیانگر یک سوئیچ مقاومتی دو حالتی است، که برای مدل کردن هر نوع خط ممکن است حالت on و یا off داشته باشد. هر R_f در حالت off مقدار بسیار بزرگی داشته و تقریباً اتصال باز است. در حالت on نیز مقداری برابر مقادیر مقاومت خطی تعیین شده دارد. شایان ذکر است، فرکانس نمونه‌برداری سیگنال‌های مورد نیاز در سیستم نمونه مورد مطالعه برابر ۸۰ کیلوهرتز است.

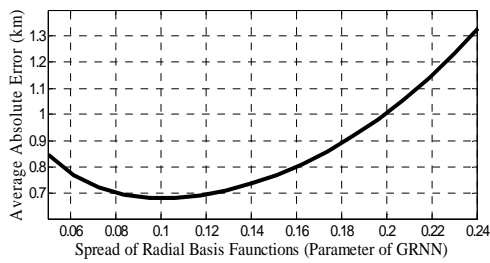
زمانی ۱۰ میلی ثانیه می‌توان دریافت که هر یک از الگوهای تولیدی شامل ۸۰۰ ویژگی هستند.

در این مقاله، قصد بر استفاده از دو تخمین‌گر متفاوت GRNN و RF است. تنها برای اینکه مقدار پارامتر تنظیمی GRNN، یعنی σ ، در مقادیر نسبتاً کوچکی قابل جستجو باشد، برای این نوع تخمین‌گر، مقادیر نمونه‌های ولتاژ در مبنای (پریونیت) kV ۵۰۰ استفاده قرار می‌شوند. البته، این پریونیت‌سازی در خصوص تخمین‌گر RF موضوعیت نداشته، اعمال و یا عدم اعمال آن تاثیری بر نتایج حاصل از این نوع تخمین‌گر نخواهد داشت.

۳-۵- تعیین پارامترهای تنظیمی تخمین‌گرها

برای آماده سازی تخمین‌گرهای GRNN و RF باید پارامترهای تنظیمی مناسب برای آنها تعیین گردند.

بهترین مقدار پارامتر σ برای GRNN از طریق اجرای فرآیند اعتبار سنجی ۱۰ تایی^{۱۸} بر روی الگوهای یادگیری و جستجوی پله به پله پارامتر مزبور انتخاب می‌شود. در طی این فرآیند، ابتدا الگوهای یادگیری موجود به صورت تصادفی به ۱۰ قسمت تقسیم می‌شوند. سپس به ازای هر مقدار σ ، تخمین به کمک GRNN متناظر به تعداد دفعات ۱۰ بار تکرار می‌گردد؛ به گونه‌ای که در هر بار اجرا، یکی از قسمت‌ها به عنوان دسته الگوی اعتبار سنجی و تمامی قسمت‌های باقی مانده به عنوان دسته الگوی یادگیری در نظر گرفته می‌شوند. برای نمونه، میانگین قدر مطلق خطای پیش‌بینی به ازای مقادیر مختلف پارامتر σ ، حاصل از اجرای فرآیند مزبور بر روی الگوهای یادگیری متناظر با خطای نوع PG، در شکل (۶) نمایش داده شده است.



شکل (۶): میانگین قدر مطلق خطای تخمین بر حسب پارامتر σ . حاصل از اجرای فرآیند اعتبار سنجی ۱۰ تایی بر روی الگوهای یادگیری متناظر با خطای نوع PG

۴-۵- تولید الگوهای یادگیری و تست

در اینجا مکانیابی خطاهای قطب مثبت به زمین (PG)، قطب مثبت به قطب منفی (PN) و قطب مثبت به قطب منفی به زمین (PNG) در سیستم نمونه شکل (۴) مدنظر قرار می‌گیرد. در این مرحله، الگوهای یادگیری و تست از طریق شبیه‌سازی انواع خطاهای در سیستم نمونه مورد مطالعه و با تغییر محل وقوع خطاهای مقاومت خط و جریان پیش از خطاهای HVDC تولید می‌گردند. شرایط تولید وقوع خطاهای PG، PN و PNG است که این حالت‌ها برای الگوهای یادگیری و تست در جدول (۱) ارائه شده‌اند.

جدول (۱): شرایط تولید الگوهای یادگیری و تست برای انواع خطاهای PG، PN و PNG

تست	یادگیری	
در ۲۵ فاصله تصادفی مختلف در طول خط انتقال	از ۱۰ کیلومتری تا ۹۹۰ کیلومتری با از نقطه اندازه‌گیری ۲ کیلومتر	از ۱۰ کیلومتر و قطب خط
۰.۰۱، ۱۰، ۳۰، ۵۰، ۱۰۰	مقایمت خط (اهم)	۲، ۱۵، ۲۰، ۴۰، ۶۰، ۸۰
۶۰۰، ۱۲۰۰، ۱۸۰۰ (آمپر)	جریان پیش از خط در خط انتقال HVDC	۸۰۰، ۱۰۰۰، ۱۴۰۰، ۱۶۰۰

تمامی الگوهای یادگیری و تست به همان شیوه ذکر شده در الگوریتم پیشنهادی تولید می‌شوند. سیگنال‌های ولتاژ موردنیاز برای تولید الگوهای از سمت رکتیفایر^{۱۷} (در نقطه M نشان داده شده در شکل (۴)) اندازه‌گیری می‌شوند. با توجه به اینکه تمامی نوع خطاهای مورد نظر در اینجا شامل قطب مثبت هستند، لذا در تولید الگوهای یادگیری و تست تنها از سیگنال ولتاژ قطب مثبت استفاده می‌گردد. همچنین، مقدار آستانه‌ای V_{thv} برای تعیین لحظه شروع پنجه زمانی ۱۰ میلی ثانیه برابر $400 kV$ و ولتاژ DC نامی) در نظر گرفته شده است. مقدار V_{thv} با رعایت این شروط تعیین شده است که اولاً کمتر از ولتاژ نامی باشد و ثانیاً به میزانی باشد که در شرایط مختلف وقوع خطاهای در زمان نسبتاً کوتاهی به مقداری کمتر از آن افت نماید. با توجه به فرکانس نمونه برداری ۸۰ کیلوهرتز و پنجه

مکانیابی خطای اتصال کوتاه در خطوط انتقال جریان مستقیم و لتأثر بالا

شده، نتایج حاصل از ارائه الگوهای تست بررسی می‌شوند. در هنگام انتخاب پارامترهای تنظیمی، با توجه به تعدد حالات و در راستای افزایش سرعت اجرای این مرحله، تخمین‌گرهای RF تا ۱۰۰ درخت رشد داده شدند؛ ولی در مرحله آموزش اصلی، برای افزایش دقت پیش‌بینی، تعداد ۲۰۰ درخت برای RF مربوط به هر نوع خطا در نظر گرفته شده است.

در این مقاله، درصد خطای تخمین مکان خطای اتصال کوتاه، ϵ بر اساس رابطه بیان شده در استاندارد IEEE Std C37.114-2004 محاسبه می‌شود [۱۸]:

$$\epsilon = \frac{\text{فاصله واقعی} - \text{فاصله تخمینی}}{\text{طول کل خط}} \times 100 \quad (3)$$

درصد خطای تخمین ϵ به عنوان شاخصی معتبر برای ارزیابی و مقایسه دقت روش‌های مکانیابی خطا قابل استفاده است. با توجه به رابطه (۳) و با عنایت به طول ۱۰۰۰ کیلومتری خط انتقال مورد مطالعه، کافی است مقدار درصد خطای تخمین ϵ در عدد ۱۰ ضرب شود تا مقدار خطای تخمین بر حسب کیلومتر به دست آید.

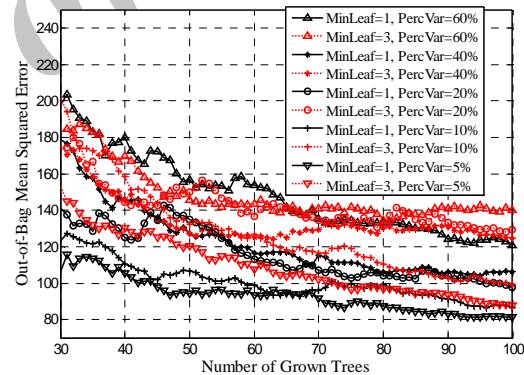
جدول (۲)، متوسط درصد خطای تخمین مکان انواع خطاهای اتصال کوتاه را برای تخمین‌گرهای GRNN و RF ارائه می‌دهد. چنانکه در این جدول مشاهده می‌شود، برای انواع خطاهای، دقت مکانیابی با استفاده از تخمین‌گر RF به مرتبه بهتر از دقت تخمین‌گر GRNN بوده است. البته، میزان دقت مکانیابی با استفاده از تخمین‌گر RF نیز در حد نسبتاً مناسبی قرار دارد.

جدول (۲): متوسط درصد خطای تخمین مکان انواع خطاهای اتصال کوتاه برای تخمین‌گرهای RF و GRNN

	GRNN	RF
نوع خطای اتصال کوتاه	متodoسط خطای تخمین (%)	متodoسط خطای تخمین (%)
PG	0.4144	0.6288
PN	0.0872	0.3406
PNG	0.0798	0.4780

پس از اجرای مراحل فوق‌الذکر برای تمامی دسته الگوهای یادگیری، بهترین مقدار پارامتر 5 برای خطاهای نوع PN و PG به ترتیب برابر 0.1 و 0.28 به دست آمد.

برای انتخاب پارامترهای تنظیمی مناسب RF نیز جستجویی در فضای گسسته $\text{MinLeaf}=[1,3]$ و $\text{PercVar}=[5,10,20,40,60]\%$ استفاده از الگوهای یادگیری و با رشد هر RF تا ۱۰۰ درخت انجام می‌شود. در این حالت، پارامترهای متاظر با OOB کمترین مقدار میانگین مربعات خطای الگوهای انتخاب می‌گردند. برای نمونه، میانگین مربعات خطای الگوهای OOB به ازای پارامترهای تنظیمی مختلف و تا رشد ۱۰۰ درخت، حاصل از اجرای فرآیند مربوط بر روی الگوهای یادگیری متاظر با خطای نوع PG در شکل (۷) نمایش داده شده است.



شکل (۷): میانگین مربعات خطای الگوهای OOB بر حسب تعداد درخت‌های رشد یافته و به ازای پارامترهای تنظیمی مختلف، مربوط به الگوهای یادگیری متاظر با خطای نوع PG

پس از اجرای مراحل فوق‌الذکر برای تمامی دسته الگوهای یادگیری، پارامترهای مشابه $\text{PercVar}=5\%$ و $\text{MinLeaf}=1$ برای هر سه نوع خطای PG، PN و PNG تعیین شدند.

۴-۵- نتایج مکانیابی خطای اتصال کوتاه در سیستم نمونه

در این مرحله، پس از آماده سازی تخمین‌گرهای RF و GRNN و PN مربوط به هر نوع خطای به کمک الگوهای یادگیری موجود و بر اساس بهترین مقادیر تنظیمی انتخاب

جدول (۳): نتایج مکان‌یابی اتصال کوتاه‌های PG با GRNN

فاصله محل وقوع اتصالی (km)	مینیمم خطای تخمین (%)	ماکریمم خطای تخمین (%)	متوسط خطای تخمین (%)	نسبت خطاهای تخمین بزرگتر از ۱%
11.05	0.0364	0.1128	0.0907	0/24
55.10	0.0771	0.2898	0.1011	0/24
99.15	0.0395	0.3702	0.1304	0/24
117.20	0.0252	0.6188	0.1766	0/24
147.05	0.0165	0.6475	0.1625	0/24
192.95	0.0358	0.8727	0.3535	0/24
231.00	0.0570	1.3181	0.5291	3/24
268.90	0.0807	2.0471	0.6099	3/24
281.05	0.0681	2.0297	0.5549	2/24
303.10	0.0006	1.5627	0.3980	2/24
347.30	0.0252	0.8496	0.4018	0/24
381.05	0.0387	0.8413	0.3176	0/24
409.00	0.0070	0.8158	0.2790	0/24
461.50	0.0082	1.1296	0.4542	2/24
490.40	0.0679	2.4211	0.8255	7/24
591.35	0.0169	1.4564	0.7556	8/24
631.00	0.0493	1.2784	0.8311	7/24
667.15	0.2288	0.8750	0.6448	0/24
692.95	0.2529	1.2297	0.7190	2/24
729.30	0.1310	1.3512	0.5923	1/24
777.70	0.0203	0.6787	0.2584	0/24
799.00	0.0004	1.4176	0.4099	1/24
801.25	0.0009	1.4745	0.4249	1/24
951.00	0.0362	0.7049	0.2334	0/24
987.05	0.0071	0.3124	0.1053	0/24
All	0.0004	2.4211	0.4144	39/600

جدول (۴): نتایج مکان‌یابی اتصال کوتاه‌های PN با GRNN

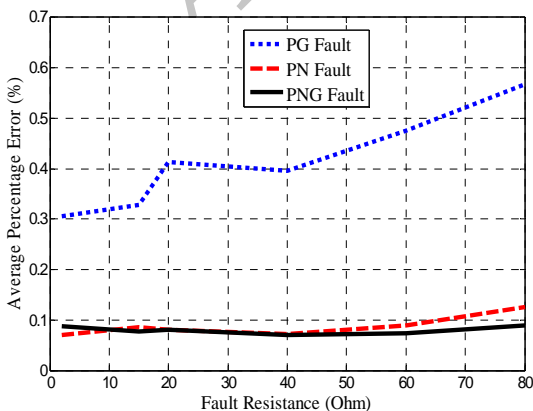
فاصله محل وقوع اتصالی (km)	مینیمم خطای تخمین (%)	ماکریمم خطای تخمین (%)	متوسط خطای تخمین (%)	نسبت خطاهای تخمین بزرگتر از ۱%
11.05	0.0033	0.0951	0.0673	0/24
55.10	0.0019	0.1091	0.0595	0/24
99.15	0.0018	0.1101	0.0566	0/24
117.20	0.0013	0.1347	0.0607	0/24
147.05	0.0022	0.2369	0.0556	0/24
192.95	0.0020	0.4906	0.0861	0/24
231.00	0.0020	0.2037	0.0786	0/24
268.90	0.0035	0.1743	0.0549	0/24
281.05	0.0023	0.1949	0.0476	0/24
303.10	0.0003	0.1585	0.0295	0/24
347.30	0.0006	0.0797	0.0219	0/24
381.05	0.0009	0.0751	0.0266	0/24
409.00	0.0003	0.1220	0.0337	0/24
461.50	0.0048	0.1637	0.0685	0/24
490.40	0.0034	0.1391	0.0575	0/24
591.35	0.0040	0.2490	0.0862	0/24
631.00	0.0065	0.2483	0.0815	0/24
667.15	0.0029	0.0966	0.0402	0/24
692.95	0.0004	0.2125	0.0902	0/24
729.30	0.0006	0.5614	0.1688	0/24
777.70	0.0638	0.9144	0.3147	0/24
799.00	0.0019	0.5479	0.1829	0/24
801.25	0.0016	0.4616	0.1608	0/24
951.00	0.0129	0.2151	0.1139	0/24
987.05	0.0693	0.2803	0.1354	0/24
All	0.0003	0.9144	0.0872	0/600

مکانیابی خطای اتصال کوتاه در خطوط انتقال جریان مستقیم ولتاژ بالا

جدول (۵): نتایج مکانیابی اتصال کوتاه‌های PNG با GRNN

فاصله محل وقوع اتصالی (km)	مینیمم خطای تخمین (%)	ماکزیمم خطای تخمین (%)	متوسط خطای تخمین (%)	نسبت خطاهای تخمین بزرگتر از ۱%
11.05	0.0096	1.1050	0.1675	2/24
55.10	0.0062	0.1098	0.0660	0/24
99.15	0.0020	0.1090	0.0513	0/24
117.20	0.0098	0.1175	0.0648	0/24
147.05	0.0006	0.1206	0.0458	0/24
192.95	0.0004	0.1500	0.0414	0/24
231.00	0.0007	0.1801	0.0534	0/24
268.90	0.0042	0.1305	0.0417	0/24
281.05	0.0004	0.0882	0.0215	0/24
303.10	0.0005	0.0550	0.0178	0/24
347.30	0.0008	0.0555	0.0164	0/24
381.05	0.0015	0.0519	0.0246	0/24
409.00	0.0006	0.0658	0.0258	0/24
461.50	0.0007	0.1038	0.0441	0/24
490.40	0.0027	0.1872	0.0512	0/24
591.35	0.0046	0.1577	0.0595	0/24
631.00	0.0069	0.1855	0.0575	0/24
667.15	0.0011	0.1118	0.0437	0/24
692.95	0.0006	0.1513	0.0722	0/24
729.30	0.0054	0.4085	0.1502	0/24
777.70	0.0325	0.7989	0.2924	0/24
799.00	0.0091	0.5204	0.1761	0/24
801.25	0.0002	0.3876	0.1559	0/24
951.00	0.0235	0.2354	0.1203	0/24
987.05	0.0672	0.2872	0.1349	0/24
All	0.0002	1.1050	0.0798	2/600

PG بوده است. شایسته یادآوری است که سطح ولتاژ رخداد اتصالی در خطاهای نوع PN و PNG نسبت به خطاهای نوع PG دو برابر است.



شکل (۸): متوسط درصد خطای مکانیابی با استفاده از GRNN به ازای تغیرات مقاومت خطا

نتایج مکانیابی با استفاده از تخمین‌گر GRNN به ازای فواصل مختلف انواع خطاهای PG، PN و PNG به ترتیب در جدول‌های (۳) الی (۵) ارائه شده‌اند. اطلاعاتی که در این جدول‌ها ارائه شده‌اند، شامل مینیمم، ماکزیمم و متوسط درصد خطای تخمین و همچنین، نسبت خطاهای تخمین بزرگتر از ۱٪، هستند. شایان ذکر است، با توجه به شرایط ذکر شده در جدول (۱)، به ازای هر نوع خطا و برای هر فاصله خطا، به تعداد ۲۴ الگوی تست وجود دارد.

همان‌طور که در جدول‌های (۳) الی (۵) مشاهده می‌شود، خطای مکانیابی بر اساس روش پیشنهادی در رنج مناسبی قرار دارد؛ به طوری که تعداد بسیار اندکی از تخمین‌ها با خطایی بیش از ۱٪ همراه بوده‌اند. چنانکه ملاحظه می‌شود، دقت مکانیابی برای خطاهای نوع PN و PNG به مرتب بیشتر از دقت مکانیابی برای خطاهای نوع

علت تغییر تعداد ویژگی‌های مورد استفاده در الگوهای مقدار مطلوب پارامتر ۵ بار دیگر از طریق فرآیند اعتبار سنجی ۱۰ تایی انتخاب می‌شود. متوسط خطای پیش‌بینی با استفاده از تخمین‌گر GRNN، به ازای طول‌های مختلف پنجره زمانی و برای انواع خطاهای در جدول (۶) ارائه شده است. چنانکه در این جدول مشاهده می‌شود، بهترین دقیقت برای مکان‌یابی انواع خطاهای در پنجره زمانی ۱۰ میلی‌ثانیه به دست آمده است. لذا انتخاب پنجره زمانی ۱۰ میلی‌ثانیه در الگوریتم پیشنهادی منطقی به نظر می‌رسد.

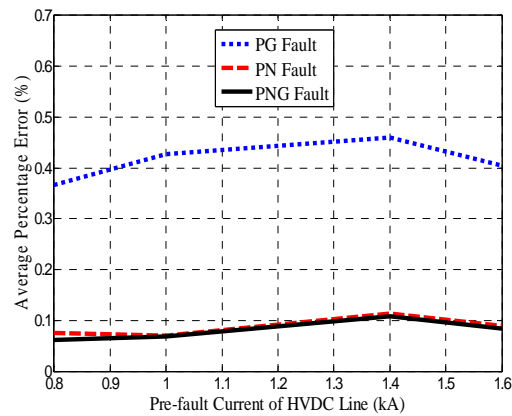
جدول (۶): متوسط درصد خطای مکان‌یابی با استفاده از تخمین‌گر GRNN به ازای طول‌های مختلف پنجره زمانی

		متوسط خطای تخمین (%)		
طول پنجره زمانی	5 ms	10 ms	20 ms	
خطای PG	0.7189	0.4144	0.5164	
خطای PN	0.3132	0.0872	0.1038	
خطای PNG	0.3874	0.0798	0.0908	

۵-۶- بررسی تاثیر مرحله کسر میانگین داده‌ها

در الگوریتم مکان‌یابی پیشنهادی، پس از اخذ نمونه‌های پنجره زمانی مورد نظر، پیش‌پردازشی برای کسر میانگین نمونه‌های مزبور اجرا می‌شود. در اینجا برای بررسی تاثیر این پیش‌پردازش، الگوهای یادگیری و تست به همان شیوه پیشنهادی، ولی بدون اجرای مرحله کسر میانگین، بازتولید می‌شوند. سپس الگوریتم مکان‌یابی خطای با استفاده از تخمین‌گرهای GRNN و RF برای الگوهای تست جدید اجرا می‌شود. شایان ذکر است، به علت تغییر ماهیت ویژگی‌های الگوها، برای هر نوع خطای مقدار مطلوب پارامترهای تنظیمی GRNN و RF بار دیگر به همان طریقه ذکر شده در بخش (۳-۵) انتخاب می‌شوند. مقادیر متوسط درصد خطای تخمین مکان انواع خطاهای اتصال‌کوتاه، در حالات اعمال و عدم اعمال مرحله کسر میانگین نمونه‌ها، برای مقایسه در جدول (۷) ارائه شده‌اند.

بر اساس نتایج جدول (۷) می‌توان دریافت که پیش‌پردازش اعمال شده برای کسر میانگین نمونه‌ها در مرحله تولید الگوها، باعث بهبود در خور توجهی در دقیقت



شکل (۹): متوسط درصد خطای مکان‌یابی با استفاده از GRNN به ازای تغییرات جریان پیش از خط

با توجه به شرایط ذکر شده در جدول (۱)، برای هر نوع خطای، به ازای هر مقاومت خطای به تعداد ۱۰۰ الگوی تست و به ازای هر جریان پیش از خطای به تعداد ۱۵۰ الگوی تست وجود دارد. متوسط درصد خطای مکان‌یابی انواع خطاهای به ازای تغییرات هر یک از پارامترهای مقاومت خطای و جریان پیش از خطای به ترتیب در شکل‌های (۸) و (۹) ارائه شده‌اند. می‌توان در این شکل‌ها مشاهده نمود که دقیقت روش مکان‌یابی به ازای مقادیر مختلف مقاومت خطای و جریان پیش از خطای در رنج قابل قبولی قرار دارد. البته، در شکل (۸) مشاهده می‌شود که افزایش مقاومت خطای، به ویژه برای نوع خطای PG، با کمی کاهش دقیقت همراه بوده است.

۵-۵- بررسی تاثیر طول پنجره زمانی

طول پنجره زمانی برای استخراج نمونه‌های ولتاژ در الگوریتم مکان‌یابی خطای برابر ۱۰ میلی‌ثانیه پیشنهاد شده است. شایان ذکر است، با اتخاذ پنجره زمانی بزرگ‌تر در یک فرکانس نمونه‌برداری ثابت، تعداد ویژگی‌های الگوها افزایش خواهد یافت و بر عکس.

در اینجا، ابتدا الگوهای یادگیری و تست به همان شیوه پیشنهادی، ولی بر اساس طول‌های مختلف پنجره زمانی بازتولید می‌شوند. سپس الگوریتم مکان‌یابی خطای با استفاده از تخمین‌گر GRNN برای الگوهای تست تولید شده به ازای طول‌های مختلف پنجره زمانی اجرا می‌شود. شایان ذکر است، به ازای هر طول پنجره زمانی و برای هر نوع خطای، به

مکان‌یابی خطای اتصال کوتاه در خطوط انتقال جریان مستقیم و لتاژ بالا

ولتاژ یک طرف خط انتقال بهره‌گیری می‌شود. در نتیجه ضمن افزایش قابلیت اطمینان دسترسی به اطلاعات اندازه‌گیری شده، مواردی همچون ارسال و سنکرون سازی اطلاعات اندازه‌گیری شده از دو طرف موضوعیت نداشت و از ترکیب خطاهایی که ممکن است در هنگام استفاده از بیش از یک نوع سیگنال رخ دهد نیز پیشگیری می‌گردد. بسیاری از روش‌های مکان‌یابی مبتنی بر امواج سیار از اطلاعات هر دو پایانه بهره می‌برند [۵-۷]. همچنین روش متفاوت ارائه شده در [۸] که بر اساس محاسبه پروفایل و لتاژ در طول خط انتقال استوار است، نیز از اطلاعات سنکرون جریان و لتاژ هر دو پایانه خط انتقال بهره می‌برد. روش مکان‌یابی ارائه شده در [۸]، بر روی یک سیستم HVDC دو قطبی با ولتاژ نامی $500 \text{ kV} \pm$ و خط انتقالی به طول ۱۰۰۰ کیلومتر تست شده است. متوسط درصد خطای تخمین مکان اتصال کوتاه‌های یک قطب به زمین، قطب به قطب و دو قطب به زمین در پنج محل مختلف در طول خط و با مقادیر مختلف مقاومت اتصالی به ترتیب برابر ۰.۳۵۰۷٪، ۰.۲۱۳۱٪ و ۰.۳۰۴۳٪ بوده است. از مقایسه نتایج مکان‌یابی روش [۸] با نتایج مکان‌یابی ارائه شده در جدول (۲) می‌توان دریافت که روش پیشنهادی با تخمین‌گر GRNN برای خطاهای قطب به قطب و دو قطب به زمین نسبت به روش [۸] دقیق‌تری داشته است. البته در خصوص خطاهای یک قطب به زمین، اعمال روش پیشنهادی با دقیق‌تری نسبت به روش [۸] همراه بوده است که با توجه به محدودتر بودن اطلاعات موردنیاز در روش پیشنهادی و عدم نیاز به ارسال و سنکرون سازی اطلاعات دو پایانه، قابل قبول خواهد بود. باید دقیق کرد که در هنگام استفاده از سیگنال‌های جریان و لتاژ دو پایانه، ترکیب خطاهای اندازه‌گیری و همچنین، میزانی از خطاهای سنکرون سازی اطلاعات اجتناب ناپذیر است. انتظار می‌رود که با کوچکتر کردن پله‌های تغییرات فاصله و قوع خط و مقاومت خط در هنگام تولید الگوهای یادگیری، دقیق روش پیشنهادی، به ویژه برای خطاهای نوع PG افزایش یابد. هر چند این امر، مرحله تولید الگوهای یادگیری را زمانبند خواهد ساخت.

مکان‌یابی شده است. همچنین، می‌توان پی برد که در حالت عدم اعمال این پیش‌پردازش نیز دقیق مکان‌یابی تخمین‌گر GRNN نسبت به تخمین‌گر RF بیشتر بوده است.

جدول (۷): متوسط درصد خطای تخمین مکان انواع خطاهای اتصال کوتاه با اعمال و عدم اعمال مرحله کسر میانگین

تخمین‌گر GRNN		RF	
متوسط خطای تخمین (%)		متوسط خطای تخمین (%)	
نوع اتصالی	با کسر میانگین	بدون کسر میانگین	با کسر میانگین
PG	0.4144	1.0340	0.6288
PN	0.0872	0.1126	0.3406
PNG	0.0798	0.0907	0.4780
			2.6241
			0.4672
			0.8333

۷-۵- مشخصه‌های بارز روش پیشنهادی

با توجه به ارزیابی صورت گرفته در خصوص سیستم نمونه می‌توان دریافت که دقیق مکان‌یابی خطاب بر اساس روش پیشنهادی، در رنج مناسب و قابل قبولی قرار دارد. علاوه بر دقیق، می‌توان به مشخصه‌های بارز دیگری از روش پیشنهادی نیز اشاره کرد. برای مثال، برای اجرای روش پیشنهادی، به فرکانس نمونه برداری بسیار بالا نیازی نیست. این در حالی است که در روش‌های موجود مکان‌یابی خطاب در خطوط HVDC که اکثر آنها بر اساس تئوری امواج سیار استوار هستند، برای دست‌یابی به دقیق مکان‌یابی بالا، فرکانس نمونه برداری بسیار بالایی در حد چندین مگاهرتز نیاز است؛ مثلاً در [۵]، فرکانس نمونه برداری برابر ۱ مگاهرتز و در [۶، ۷]، فرکانس نمونه برداری برابر ۲ مگاهرتز در نظر گرفته شده است. در [۴، ۲] نیز نشان داده شده است که با کاهش فرکانس نمونه برداری به حدود ۱۰۰ کیلوهرتز، دقیق مکان‌یابی به طرز قابل توجهی کاهش می‌یابد. در [۳]، با اتخاذ فرکانس نمونه برداری برابر ۸۰ کیلوهرتز، تخمین محل تنها پنج مورد اتصالی قطب به زمین با مقاومت صفر با متعدد خطای تخمینی برابر ۰.۷۵٪ همراه بوده است، که در مقایسه با نتایج حاصل از اعمال روش پیشنهادی در خصوص ۶۰۰ مورد اتصالی در ۲۵ مکان متفاوت و با ۶ مقاومت خطاب و ۴ جریان پیش از خطاهای مختلف، دقیق‌تری داشته است. در روش مکان‌یابی خطای پیشنهادی تنها از نمونه‌های

۶- نتیجه‌گیری

- Systems, Vol. PAS-104, No. 12, pp. 3531–3537, Dec. 1985.
- [2] M. B. Dewe, S. Sankar, and J. Arrillaga, “The application of satellite time references to HVDC fault location,” IEEE Transactions on Power Delivery, Vol. 8, No. 3, pp. 1295–1302, Jul. 1993.
- [3] A. Swetha, P. K. Murthy, N. Sujatha, and Y. Kiran, “A novel technique for the location of fault on a HVDC transmission line,” ARPN Journal of Engineering and Applied Sciences, Vol. 6, No. 11, pp. 62–67, Nov. 2011.
- [4] Y.-J. Kwon, S.-H. Kang, D.-G Lee, and H.-K. Kim, “Fault location algorithm based on cross correlation method for HVDC cable lines,” IET 9th International Conference on Developments in Power System Protection (DPSP), pp. 360–364, Mar. 2008.
- [5] C. Ping, X. Bingyin, L. Jing, and G. Yaozhong, “Modern travelling wave based fault location techniques for HVDC transmission lines,” Transactions of Tianjin University, Vol. 14, No. 2, pp. 139–143, Apr. 2008.
- [6] O. M. K. K. Nanayakkara, A. D. Rajapakse, and R. Wachal, “Location of DC line faults in conventional HVDC systems with segments of cables and overhead lines using terminal measurements,” IEEE Transactions on Power Delivery, Vol. 27, No. 1, pp. 279–288, Jan. 2012.
- [7] O. M. K. K. Nanayakkara, A. D. Rajapakse, and R. Wachal, “Traveling-wave-based line fault location in star-connected multiterminal HVDC systems,” IEEE Transactions on Power Delivery, Vol. 27, No. 4, pp. 2286–2294, Oct. 2012.
- [8] J. Suonan, S. Gao, G. Song, Z. Jiao, and X. Kang, “A novel fault-location method for HVDC transmission lines,” IEEE Transactions on Power Delivery, Vol. 25, No. 2, pp. 1203–1209, Apr. 2010.
- [9] “PSCAD/EMTDC User’s Guide,” Manitoba HVDC Research Ctr., Winnipeg, MB, Canada, 2005.
- [10] M. Szechtman, et al. (WG 14.02), “The CIGRE HVDC benchmark model—a new proposal with revised parameters,” Electra, No. 157, pp. 61–65, Dec. 1994.
- [11] M. Hudson Beale, M. T. Hagan, H. B. Demuth, “Neural network toolbox user’s guide,” Matlab R2012b documentation, MathWorks Inc., 2012.
- [12] S. Haykin, Neural Networks-A Comprehensive Foundation, 2nd edn., Prentice Hall, 1999, pp. 256–308.

در این مقاله، حل مسئله مکان‌یابی خطأ در خطوط انتقال جریان مستقیم ولتاژ بالا (HVDC) از منظر استراتژی‌های یادگیری ماشین مدل نظر قرار گرفت. در روش پیشنهادی، الگوهای مورد استفاده برای مکان‌یابی خطأ، با استفاده از نمونه‌های سینگول ولتاژ پس از خطای اندازه‌گیری شده در یک ترمیнал تولید می‌شوند. در این روش، با توجه به بُعد بالای بردارهای ویژگی، استفاده از شبکه عصبی رگرسیون تعمیم‌یافته (GRNN) و الگوریتم جنگل تصادفی (RF) برای تخمین محل خطأ پیشنهاد شد. نتایج آزمایش‌هایی که بر روی سیستم HVDC دو قطبی نمونه انجام شد، نشان دهنده دقت و کارایی مناسب روش پیشنهادی هستند. در نتیجه، ارزیابی و مقایسه دقت دو تخمین‌گر GRNN و RF بر روی سیستم نمونه، مشاهده شد که تخمین‌گر GRNN برای استفاده در شیوه پیشنهادی مناسب‌تر است. در این مقاله، تاثیر انتخاب طول پنجره زمانی مورد استفاده برای استخراج ویژگی‌ها و همچنین، اهمیت پیش‌پردازش کسر میانگین نمونه‌ها نیز بررسی شد. شایان ذکر است، الگوریتم پیشنهادی راه حل مناسبی برای حل مسئله مکان‌یابی خطأ در خطوط HVDC ارائه می‌دهد و بدینهی است که این راه حل، بهترین روش ممکن نبوده، امکان بهبود آن با یافتن ویژگی‌های کارآمدتر و با به کارگیری ابزارهای یادگیری مناسب‌تر وجود خواهد داشت. مطالعه در راستای یافتن ویژگی‌های بهتر که ضمن ارتباط معنی دار با مکان وقوع خطأ، کمترین حساسیت را نسبت به پارامترهای تاثیرگذار در مکان‌یابی، همچون مقاومت خطأ و جریان پیش از خطأ داشته باشند، می‌تواند به ارائه روش‌های کارآمدتر و دقیق‌تری منجر گردد. انتخاب الگوریتم یادگیری کارآمد و مناسب با ویژگی‌های مورد استفاده نیز در این راستا دارای اهمیت خواهد بود.

مراجع :

- [1] M. Ando, E. O. Schweitzer, and R. A. Baker, “Development and field-data evaluation of single-end fault locator for two-terminal HVDC transmission lines-part 2: algorithm and evaluation,” IEEE Transactions on Power Apparatus and

.....
مکانیابی خطای اتصال کوتاه در خطوط انتقال جریان مستقیم ولتاژ بالا

- [13] W. Y. Loh, "Classification and regression trees," Wiley Interdisciplinary Reviews: Data Mining and Knowledge Discovery, Vol. 1, No. 1, pp. 14-23, Jan./Feb. 2011.
- [14] E. Tuv, "Ensemble learning," in Guyon, I., Gunn, S., Nikravesh, M., and Zadeh, L.A. (Eds.): Feature Extraction: Foundations and Applications, Springer-Verlag, pp. 187–204, 2006.
- [15] L. Breiman, "Random forests," Machine Learning, Vol. 45, No. 1, pp. 5–32, 2001.
- [16] S. Ekici, S. Yildirim, and M. Poyraz, "Energy and entropy-based feature extraction for locating fault on transmission lines by using neural network and wavelet packet decomposition," Expert Systems with Applications, Vol. 34, No. 4, pp. 2937–2944, May 2008.
- [17] "The lower churchill project DC1010-voltage and conductor optimization," Newfoundland and Labrador Hydro-Lower Churchill Project, Exhibit CE-01 Rev.1 (Public), Apr. 2008 [Online]. Available: [http://www.pub.nf.ca/applications/muskratfa_lis2011/files/exhibits/abridged/CE-01\(R1\)-Public.pdf](http://www.pub.nf.ca/applications/muskratfa_lis2011/files/exhibits/abridged/CE-01(R1)-Public.pdf).
- [18] M. M. Saha, J. Izykowski, and E. Rosolowski, Power Systems-Fault Location on Power Networks, London: Springer-Verlag, 1st ed., 2010.

زیرنویس

¹ High Voltage Direct Current

² Global Positioning System

³ Generalized Regression Neural Network

⁴ Random Forest

⁵ Bipolar

⁶ Monopolar

⁷ Radial Basis Function Neural Network

⁸ Radial Basis Layer

⁹ Decision Tree

¹⁰ Impurity

¹¹ Overfitting

¹² Ensemble of Decision Trees

¹³ Out-of-Bag

¹⁴ Smoothing Reactor

¹⁵ Multilayer Perceptron Neural Networks

¹⁶ Short Circuit Ratio

¹⁷ Rectifier

¹⁸ 10-fold Cross Validation